УДК 53.083.72

ИССЛЕДОВАНИЕ ВОЗМОЖНОСТЕЙ УДАРНЫХ ТРУБ ДЛЯ КАЛИБРОВКИ СИ ИМПУЛЬСНОГО ДАВЛЕНИЯ

С.М. Гаврилкин, И.Н. Темницкий, Б.В. Юрьев, А.Н. Щипунов, О.В. Авдеенко

ФГУП «ВНИИФТРИ», Менделеево, Московской обл. gavrilkin@yniiftri.org, yu@yniiftri.ru, schipunov@yniiftri.ru, avdeenko@yniiftri.ru

В статье описаны исследования, выполненные в лаборатории измерений давлений ФГУП «ВНИИФТРИ» по разработке экспериментального образиа эталона единицы импульсного давления. Представлены экспериментальные данные по исследованию метрологических характеристик ударной трубы [1] как составной части эталона. На основании экспериментальных данных выявлены основные влияющие факторы и предложены способы их минимизации.

Ключевые слова: ударная труба, ударная волна, отраженная ударная волна, импульсное давление, неопределенность.

Введение

Измерение высоких давлений в неравновесных условиях, где давление быстро изменяется с течением времени, имеет место во многих областях промышленности, включая аэрокосмическую, атомную, химическую, автомобильную и другие, чьи производственные процессы требуют точного мониторинга давления. В настоящее время многие средства измерения высокого давления, предназначенные для регистрации динамических процессов, калибруются в статических условиях [2]. Такое положение сложилось из-за отсутствия стандартизованных процедур калибровки и эталонов, воспроизводящих высокие динамические давления.

Ударная труба с источником высокого давления в виде сжатого газа является устройством, которое позволяет получать однократные импульсы давления в виде ступеньки с прямым передним фронтом. Передний фронт ударной волны можно считать идеальным в диапазоне давлений до 5 МПа для азота и воздуха и до 20 МПа для инертных газов. Эти ограничения по давлению для молекулярных газов связаны с диссоциацией молекул азота и кислорода при высоких температурах, возникающей в ударных волнах при сжатии газа. При более высоких давлениях, а следовательно, и температурах, влияние на форму и ширину фронта будет оказывать ионизация атомов. Ширина фронта ударной волны в идеальном случае не превышает двух длин свободного пробега молекул газа в исходном состоянии перед ударной волной, т. е. длительность переднего фронта импульса давления меньше микросекунды. Длительность переднего фронта импульса давления при других методах генерации импульсов, таких как метод копра и быстродействующий клапан, находится в диапазоне от нескольких миллисекунд до десятков

и сотен миллисекунд.

Описание экспериментального образца

Экспериментальный образец ударной трубы был изготовлен на основе промышленных труб для гидравлических систем. Конструкция ударной трубы рассчитана на воспроизведение однократного импульса давления до 10 МПа с длительностью участка постоянного давления 5 мс в проходящей ударной волне и 2 мс в отраженной ударной волне. Экспериментальный образец ударной трубы предполагается использовать для определения переходных характеристик быстродействующих датчиков импульсного давления.

На рис. 1 показана функциональная схема ударной трубы. Ударная труба состоит из двух камер, изготовленных из труб с внутренним диаметром 80 мм. Первая камера, камера высокого давления (КВД), отделена от второй камеры, канала низкого давления (КНД), мембранным узлом, который позволяет создавать различные начальные давления в каждой из камер ударной трубы.

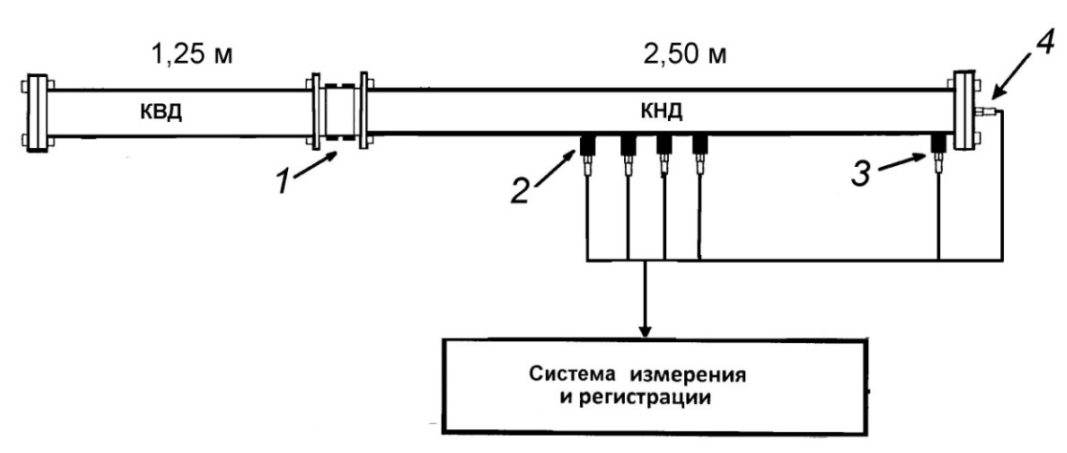


Рис. 1. Ударная труба: I — мембранный узел; 2, 3 и 4 — места установки датчиков в канале низкого давления

Возможности использования ударной трубы для калибровки СИ импульсного давления изучались на примере тензорезистивных датчиков XT-190M и HKS375 (фирмы Kulite, США) с преобразователем сигнала ПС-1 и пьезоэлектрических датчиков 113B26 (фирмы PCB Piezotronics, США) с преобразователем сигнала 482A21.

Для регистрации сигналов с датчиков давления использовали цифровой осциллограф NI PXI-5922, а интервал времени τ прохождения

фронта ударной волны на известной базе между двумя датчиками измеряли с помощью осциллографа Tektronix TDS 2024.

В качестве разрывных мембран применялись пленки марки ПЭТ-Э ГОСТ 24234-80 толщиной от 10 до 750 мкм. Эти пленки позволили с хорошей воспроизводимостью получать амплитуду давления за фронтом ударной волны в диапазоне от 10 кПа до 2500 кПа. Для получения более высоких давлений в ударной волне использовали мембраны из алюминия толщиной от 1,2 до 3,5 мм. Однако оказалось, что чистоты алюминия 99,5 % недостаточно для воспроизводимости механизма разрушения мембраны. Попадание кусков мембраны после разрушения в поток газа изменяло форму и амплитуду импульса давления, поэтому на данном этапе выполнения работ исследования с давлениями выше 2,5 МПа не проводились.

Теория ударных волн

На рис. 2 показана схема распространения ударных волн и волн разрежения в ударной трубе после разрыва мембраны. Цифрами указаны зоны существования постоянного давления. Давления в зонах 2 и 5 одинаковы, а различаются только температуры. В зоне 2 находится ударно-сжатый газ с высокой температурой, а в зоне 5 - газ, вытекающий из камеры высокого давления, с низкой температурой. На рис. 1 показано, что места установки датчиков в канале низкого давления соответствуют наибольшей длительности постоянного давления в зонах 2-5 за проходящей ударной волной и в зоне 3 – за отраженной ударной волной.

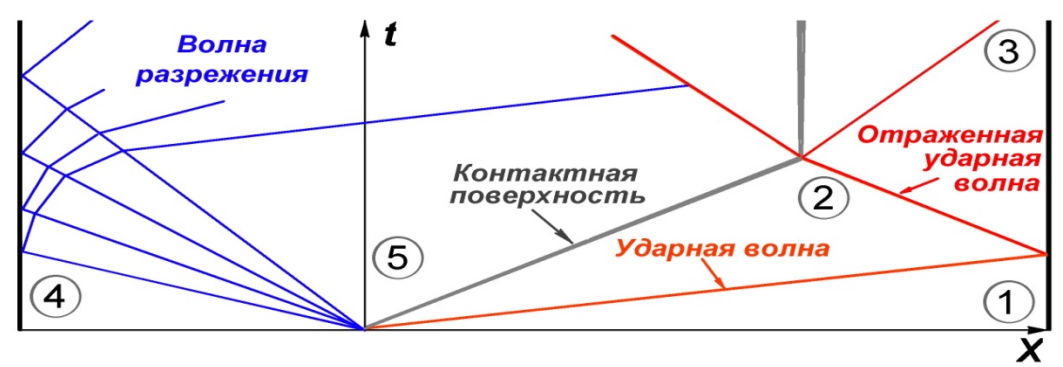


Рис. 2. Схема распространения ударных волн и волн разрежения в ударной трубе после разрыва мембраны

Генерация ударной волны происходит при разрушении мембраны в мембранном узле, разделяющей газ, заполняющий при высоком давлении КВД, и газ в КНД. Мембрана разрушается при подаче избыточного давления P_4 в КВД и достижении на мембране определенного перепада давлений $(P_4 - P_1)$, зависящего от материала, толщины и бездефектности мембраны. При

этом в КНД формируется ударная волна, распространяющаяся с постоянной скоростью V. По газу, заполняющему КВД, в обратную сторону распространяется волна разрежения. Между ударной волной и контактной поверхностью, движущейся вместе с газом со скоростью U, образуется «пробка» ударно сжатого газа с давлением P_2 , длина «пробки» нарастает по мере распространения ударной волны. Достигнув торцевого фланца КНД, ударная волна отражается от него и движется в обратную сторону с постоянной скоростью V_{omp} , оставляя за собой область покоящегося газа с давлением P_3 . При этом давление за отраженной волной P_3 возрастает в несколько раз по сравнению с давлением P_2 за падающей ударной волной.

Значения давления P_2 на фронте сформировавшейся (проходящей) ударной волны и давления P_3 в отраженной ударной волне, а также соотношение для оценки числа Маха M получены из уравнений сохранения массы, импульса и энергии газа на фронте ударной волны [1]:

$$P_2 = P_1 \cdot \frac{2\gamma_1 M^2 - (\gamma_1 - 1)}{\gamma_1 + 1}.$$
 (1)

$$P_{3} = P_{1} \cdot \frac{2\gamma_{1}(3\gamma_{1}-1)M^{4} - (7\gamma_{1}-1)(\gamma_{1}-1)M^{2} + 2(\gamma_{1}-1)^{2}}{(\gamma_{1}^{2}-1)M^{2} + 2(\gamma_{1}+1)}$$
 (2)

$$P_{4} = P_{1} \cdot \frac{2\gamma_{1}M^{2} - (\gamma_{1} - 1)}{\gamma_{1} + 1} \cdot \left(1 - \frac{\gamma_{4} - 1}{\gamma_{1} + 1} \cdot \left(\frac{c_{1}}{c_{4}}\right) \cdot \left(\frac{M^{2} - 1}{M}\right)\right)^{-\frac{2\gamma_{4}}{\gamma_{4} - 1}}.$$

$$(3)$$

$$M = \frac{V}{c_1},\tag{4}$$

где c_1 и c_4 – скорости звука в газах КНД и КВД соответственно, а γ_1 и γ_4 – показатели адиабаты газов КНД и КВД.

Скорость звука в газе в зависимости от температуры T_{θ} определяется по формуле

$$c = \sqrt{\frac{\gamma R T_0}{\mu}}, \tag{5}$$

где R — универсальная газовая постоянная, T_0 — абсолютная температура газа, μ — молекулярная масса газа.

Температура T_0 и давление P_1 измеряются в КНД перед разрушением мембраны.

Для определения скорости V ударной волны измеряется время τ прохода волной базового расстояния L между двумя индикаторами, размещенными в боковой стенке ударной трубы.

$$V = \frac{L}{\tau}. (6)$$

Рассмотрим основные составляющие погрешности воспроизведения амплитуды импульсного давления в ударных трубах, исходя из системы уравнений (1–6) для идеального газа.

Относительная погрешность числа Mаха M для ударной волны, определяемая погрешностями измерения температуры газа в КНД, измерения расстояния между датчиками и измерения временного интервала прохождения ударной волны базового расстояния между датчиками, равна:

$$\frac{\delta M}{M} = \frac{\delta l}{l} + \frac{\delta \tau}{\tau} + \frac{\delta T_0}{2T_0}.$$
 (7)

Относительные погрешности определения давлений в проходящей ударной волне и отраженной ударной волне определяются из формул (1) и (2) и соответственно равны:

$$\frac{\delta P_2}{P_2} = \frac{4\gamma_1 M^2}{2\gamma_1 M^2 - (\gamma_1 - 1)} \cdot \frac{\delta M}{M} + \frac{\delta P_1}{P_1}.$$
 (8)

$$\frac{\delta P_3}{P_3} = \frac{4M^2(M^4\gamma(\gamma-1)(3\gamma-1)+4M^2\gamma(3\gamma-1)-(7\gamma-1)(\gamma-1)-(\gamma-1)^3)}{(2M^4\gamma(3\gamma-1)-M^2(7\gamma-1)(\gamma-1)+2(\gamma-1)^2)((\gamma-1)M^2+2)^2} \cdot \frac{\delta M}{M} + \frac{\delta P_1}{P_1} \tag{9}$$

Расчет показал, что в диапазоне давлений до 10 МПа относительные погрешности определения давления в ударной волне, полученные по формулам (7) и (8), меньше 0,6 %, а относительные погрешности определения давления в отраженной ударной волне, полученные по формулам (7) и (9), меньше 1 %. Основной вклад в вышеуказанные погрешности вносит определение момента прохождения фронта ударной волны через индикаторы при измерении времени прохода волной базового расстояния.

На рис. 3 приведены зависимости коэффициентов $\alpha_2=\frac{4\gamma_1M^2}{2\gamma_1M^2-(\gamma_1-1)}$ и $\alpha_3=\frac{4M^2(M^4\gamma(\gamma-1)(3\gamma-1)+4M^2\gamma(3\gamma-1)-(7\gamma-1)(\gamma-1)-(\gamma-1)^3)}{(2M^4\gamma(3\gamma-1)-M^2(7\gamma-1)(\gamma-1)+2(\gamma-1)^2)((\gamma-1)M^2+2)^2}$ при члене $\frac{\delta\!M}{M}$ в формулах (8) и (9) от показателя адиабаты газа и числа Маха.

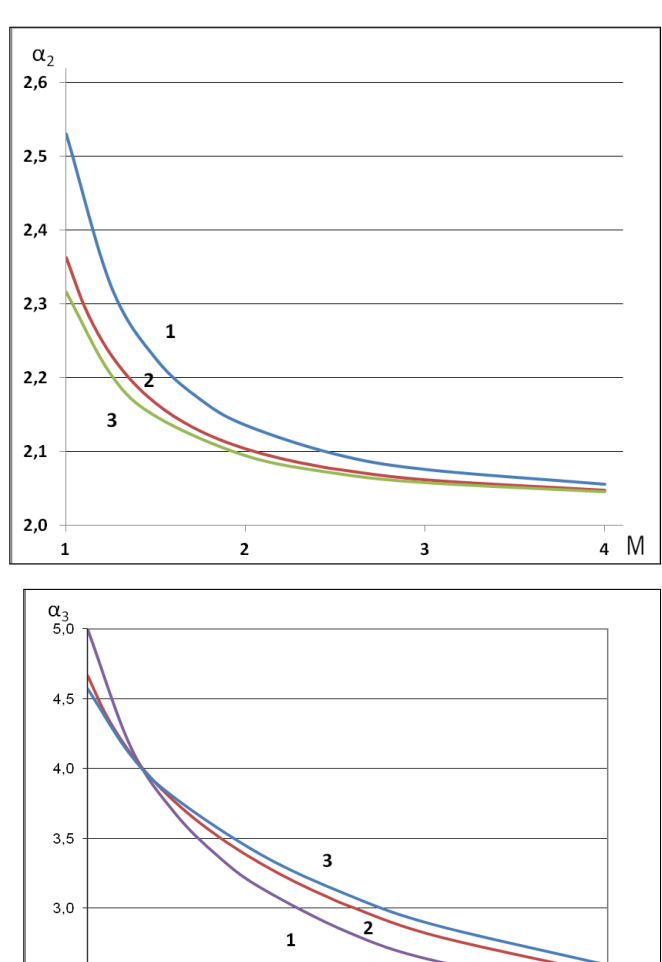


Рис. 3. Зависимости коэффициентов α_2 (слева) и α_3 (справа) при члене $\frac{\delta M}{M}$ в формулах (8) и (9) от показателя адиабаты газа и числа Маха (1 – одноатомный газ, 2 – двухатомный газ, 3 – многоатомный газ)

2

2,5

1,5

¬ M

3,5

2,5

2,0

Из представленных на рис. 3 результатов следует, что зависимость относительной погрешности от показателя адиабаты является слабой, и при расчетах относительной погрешности определения давлений P_2 и P_3 в диапазоне чисел Маха, реализуемых на ударных трубах описываемого типа, можно пользоваться упрощенными формулами:

$$\frac{\delta P_2}{P_2} = \alpha_2 \cdot \frac{\delta M}{M} + \frac{\delta P_1}{P_1} \quad (\alpha_2 = 2...2,5 \text{ в зависимости от M}). \tag{10}$$

$$\frac{\delta P_3}{P_3} = \alpha_3 \cdot \frac{\delta M}{M} + \frac{\delta P_1}{P_1} \quad (\alpha_3 = 2...4, 5 \text{ в зависимости от M}). \quad (11)$$

Экспериментальные исследования

На рис. 4 и 5 показаны профили давлений за проходящей и отраженной ударными волнами. Расчетные значения импульсного давления, основанные на измерении скорости стационарной ударной волны и полученные по уравнениям (1) и (2), совпадают со значениями давления, полученными с помощью датчиков импульсного давления. Из-за колебаний амплитуды давления при измерении датчиками, измеренное импульсное давление определялось, как среднее арифметическое значение в интервале 0,5 мс, взятом через 0,1 мс после прохождения фронта ударной волны.

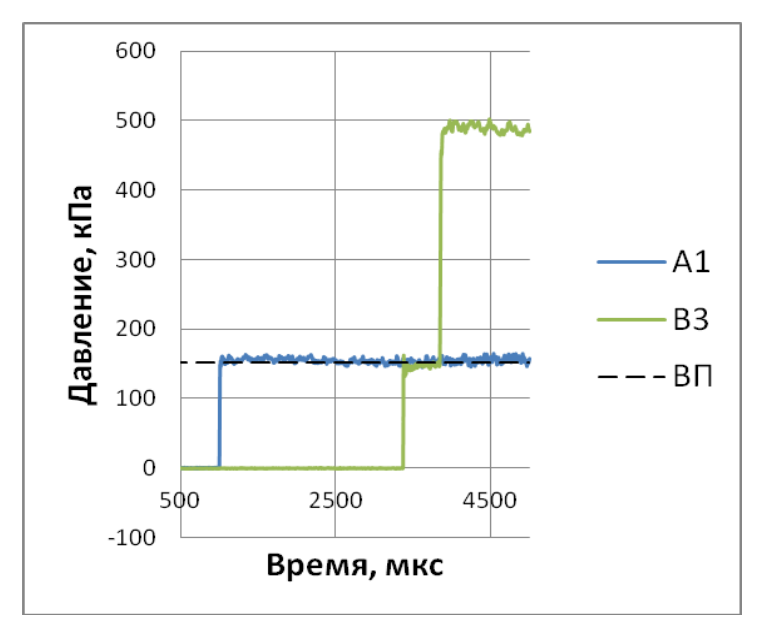


Рис. 4. Давление за проходящей ударной волной: ВП – расчетное значение; А1 – датчик 113В26 (место установки 2 по рис. 1); В3 – датчик 113В26 (место установки 3 по рис. 1)

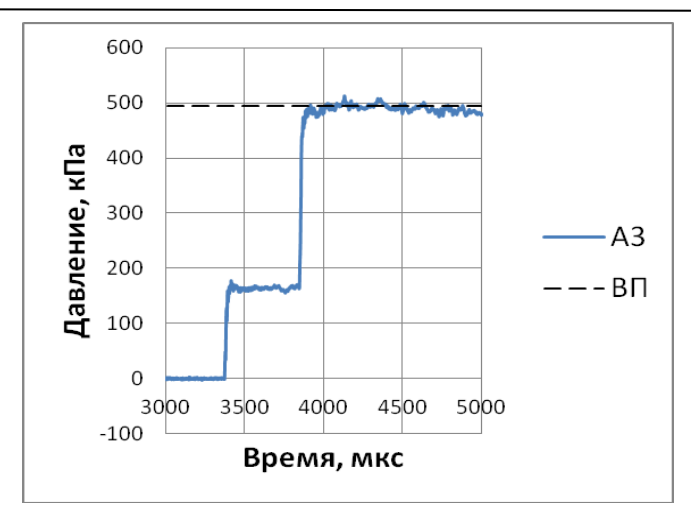


Рис. 5. Давление за отраженной ударной волной: В Π – расчетное значение; A3 – датчик 113B26 (место установки 3 по рис. 1)

Рассчитанное по экспериментальным данным в диапазоне давлений до 2,5 МПа относительное среднеквадратическое отклонение измеренного значения импульсного давления от расчетного значения давления равно 1,8 %. Изменение интервала при усреднении данных не повлияло на полученное значение среднеквадратического отклонения.

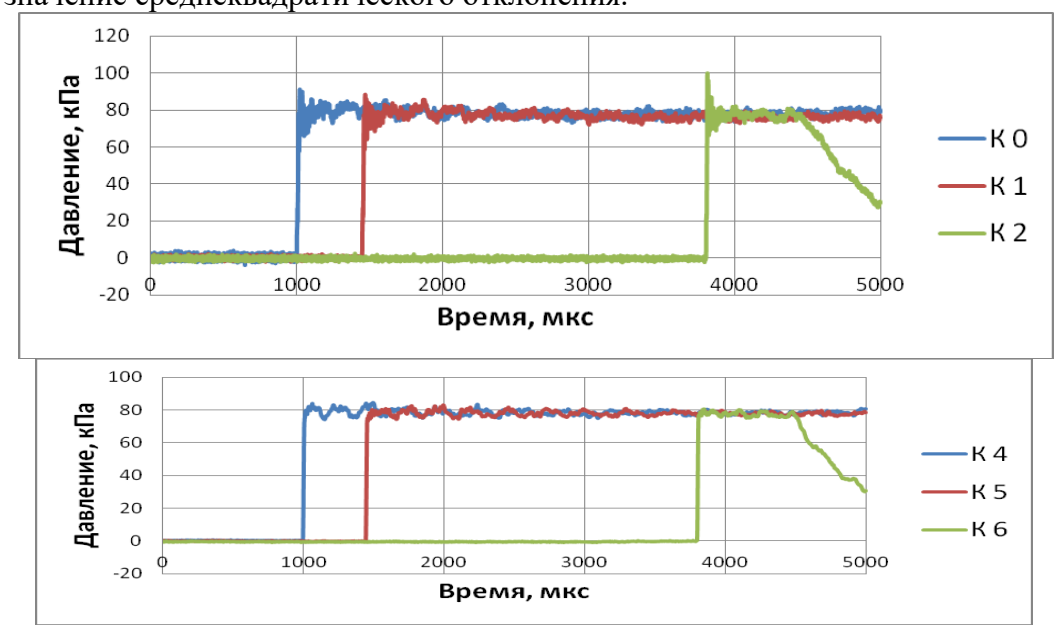


Рис. 6. Профиль давления за проходящей ударной волной с открытым торцом ударной трубы:

датчики XT190M (места установки датчиков 2 — K0 и K1, 3 — K2 по рис. 1); датчики 113B26 (места установки датчиков 2 — K4 и K5, 3 — K6 по рис. 1)

Рассмотрим, какие еще влияющие факторы действуют при воспроизведении единицы импульсного давления. На рис. 6 представлены профили давления, полученные двумя типами датчиков. Датчики на ударной трубе устанавливались на всем пути следования стационарной ударной волны: от места формирования и до выхода из ударной трубы. Профили давления, полученные тензорезистивными и пьезоэлектрическими датчиками, установленными попарно в трех сечениях ударной трубы, в целом совпадают. Видимые на рисунках различия в профилях давления связаны с конструкцией чувствительных элементов датчиков. Оба типа датчиков показали периодическое изменение амплитуды давления за проходящей ударной волной. В месте формирования стационарной волны амплитуда этих колебаний в 2-3 больше, чем в месте выхода ударной волны из трубы. При увеличении давления в ударной волне до 500 кПа разница в амплитуде колебаний исчезает. Это связано с тем, что при формировании сильных ударных волн место формирования ударной волны с увеличением давления перемещается ближе к мембранному узлу.

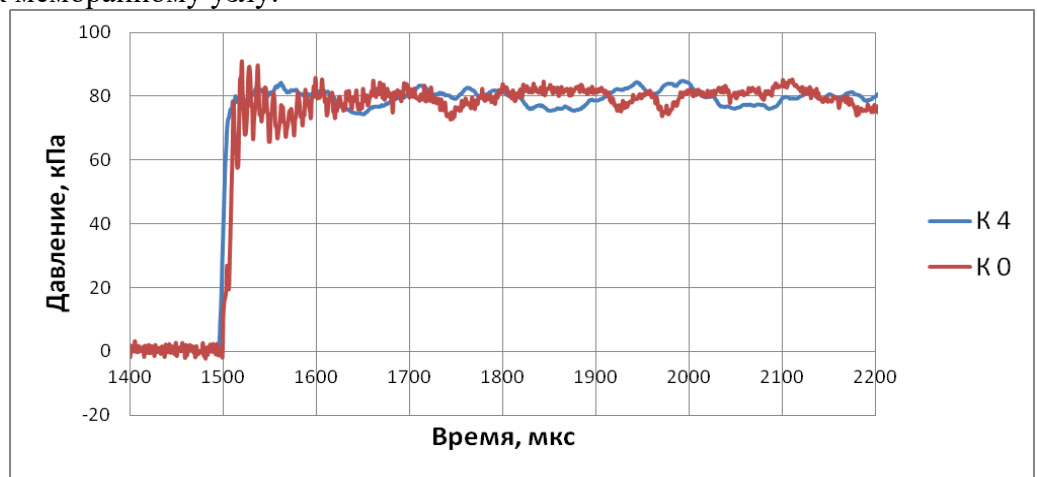


Рис. 7. Профиль давления за проходящей ударной волной. K0 – датчик XT190M (место установки 1 по рис. 1); К4 – датчик 113В26 (место установки 1 по рис. 1)

На рис. 7 видно, что тензорезистивные датчики XT190M имеют вторую резонансную частоту ~130 кГц, связанную с имеющимся в конструкции датчика «мертвым» объемом (объем внутри датчика между входным отверстием датчика и чувствительным элементом). Резонансная частота мембраны чувствительного элемента этих датчиков больше 500 кГц.

Кварцевые пьезоэлементы датчиков 113В26 находятся сразу за стальной мембраной, поэтому эти датчики имеют только одну резонансную частоту и более удобны для наших исследований. Колебания амплитуды давления за ударным фронтом, показанные на рис. 7, вызваны поперечными волнами, образующимися на стадии формирования стационарной ударной волны Альманах современной метрологии, 2015, №5

после разрыва мембраны. Частота этих колебаний давления зависит от диаметра ударной трубы, амплитуды давления в ударной волне и состава газа. Для исследуемой ударной трубы эта частота лежит в диапазоне 5–20 кГц.

Несовпадение профилей давления поперечных волн, полученных с симметрично установленных на ударной трубе датчиков, свидетельствует о несимметричности и неоднородности течений за фронтом ударной волны.

Пример разрушенной мембраны показан на рис. 8. Все отработанные мембраны имеют такую же форму. Мембраны разрушены только в центральной части, поэтому часть площади мембраны является помехой течению газа при формировании ударной волны.



Рис. 8. Вид мембраны после разрушения

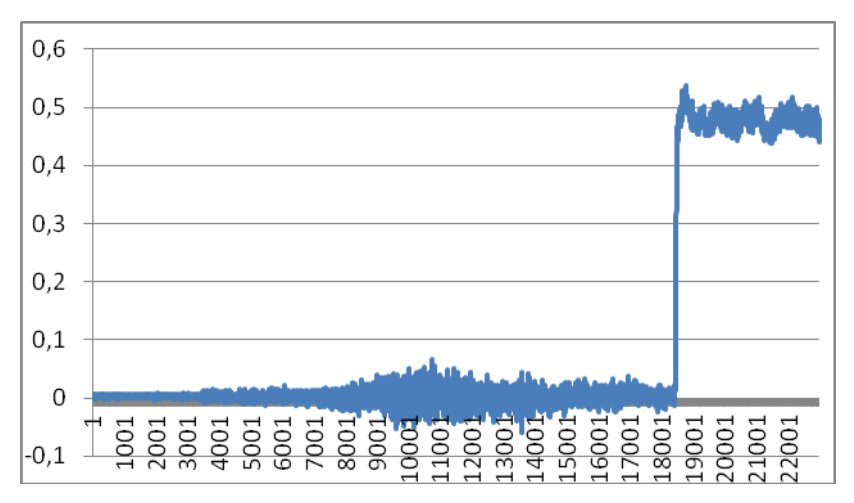


Рис. 9. Профиль сигнала датчика давления с предвестником

Для увеличения эффективной площади мембраны и минимизации влияния механизма разрыва мембраны на давление в ударной волне была разработана новая конструкция мембранного узла и КВД.

При давлениях в проходящей ударной волне больше 500 кПа на профилях давления, регистрируемых датчиками, виден предвестник. Предвестник показан на рис. 9. Этот сигнал с датчиков давления связан с вибрацией в месте крепления датчиков. Вибрация в стенках трубы возникает при воздействии на поверхность трубы сильной ударной волны и распространяется по материалу трубы со скоростью звука в стали, т.е. быстрее, чем ударная волна в газе.

Для снижения влияния вибрации на датчик требуется разработка специальных гнезд крепления датчиков из материалов с отличной от стали акустической жесткостью или изготовление КНД в виде нескольких акустически развязанных секций.

Заключение

При исследовании метрологических характеристик ударной трубы были выявлены два основных влияющих фактора, связанные с конструкцией ударной трубы и материалом мембраны:

- 1. Особенности механизма разрыва мембраны, которые задают амплитуду периодического изменения давления за фронтом ударной волны.
- 2. Вибрация стенок ударной трубы под действием формирующейся ударной волны, которая передается к местам крепления датчиков.

Метрологические характеристики ударной трубы, полученные на основе экспериментальных данных, представлены в таблице.

Таблица Метрологические характеристики ударной трубы

Наименование характеристики	Значение
Диапазон воспроизводимого импульсного давления, кПа	10 2500
Погрешность воспроизведения единицы импульсного давления, %, не более	± 5
Относительное среднее квадратическое отклонение измеренного импульсного давления от расчетного давления, %, не более	± 2
Диапазон давлений в камере высокого давления, МПа, не более	10
Диапазон длительностей импульса давления:	
проходящая ударная волна	5.10^{-3}
отраженная ударная волна	$2 \cdot 10^{-3}$
Крутизна нарастания переднего фронта воспроизводимого импульсного давления, мкс, не более	0,5

Работа выполнена в рамках НИР «Проведение исследований в области измерений давления по разработке экспериментального образца измерительной установки воспроизведения высоких импульсных давлений с улучшением метрологических характеристик Государственного первичного эталона единицы давления».

Литература

- 1. Гейдон А., Герл И. Ударные трубы в химической физике высоких температур. М.: Мир, 1966.
- 2. Боровков И.Т., Кузнецов Д.И., Секоян С.С., Щипунов А.Н., Асланян А.Э., Гаврилкин С.М. Создание Государственного первичного эталона единицы давления в диапазоне 10 − 1600 МПа и единицы эффективной площади поршневых пар грузопоршневых манометров в диапазоне 1 − 0,005 см²// Измер. техника, 2014, №11, с. 7-10.